



# Determination of the imaginary component of atomic scattering factor for x-ray for nickel element for the energy range of 8.048-19.609 KeV

**Dr.Muhsin Hasan Ali**

Department of physics, College of Education for Pure Sciences, Tikrit University

## Abstract

In this paper x-ray mass attenuation coefficients of nickel were measured with precision between 0.2% and 0.5% for four characteristic wavelengths: copper and molybdenum K lines. The mass photoelectric absorption coefficients were determined by subtracting the calculated Rayleigh scattering from the total scattering and the values of measured attenuation coefficients. The values of the imaginary component of atomic scattering factor for x-ray in nickel were determined from the difference between the values of measured attenuation coefficients and theoretical calculations, it is shown that In the low energy at  $\omega \ll \omega_e$ , and the high energy at  $\omega \gg \omega_e$ , the imaginary component approximately is zero, and the electrons are so tightly bound to the atom. In the region  $\omega \sim \omega_e$  where the imaginary component of the scattering is dominate and the electron become highly absorbing. There was good agreement between the values of the imaginary component of atomic scattering factor has been found and the values has been calculated by using various model.

**Key Words:-** atomic scattering factor, the imaginary component of atomic scattering factor, coherent scattering.

Web Site: [www.kujss.com](http://www.kujss.com) Email: [kirkukjournsci@yahoo.com](mailto:kirkukjournsci@yahoo.com),  
[kirkukjournsci@gmail.com](mailto:kirkukjournsci@gmail.com)



## ایجاد المركبة الخيالية لعامل التشتت الذري للاشعة السينية لعنصر النيكل

لمدى الطاقة من 8.048 الى 19.609 كيلو الكترون فولت

م.د.محسن حسن علي

قسم الفيزياء- كلية التربية للعلوم الصرفة-جامعة تكريت

E-mail:- mohsenastro@yahoo.com

### الخلاصة

تم في هذا البحث قياس معامل التوهين الكتلي للاشعة السينية للنيكل بدقة تتراوح بين 0.2% - 0.5% لاربع اطوال موجية مميزة لخطوط  $k$  بالنسبة للنحاس والمولبدينوم، كما تم ايجاد معامل الامتصاص الكهروضوئي الكتلي من خلال طرح استطرارة رايلي التي تم حسابها من الاستطرارة الكلية، التي تم ايجادها من معامل التوهين الكتلي، ان قيم المركبة الخيالية لعامل التشتت الذري للاشعة السينية للنيكل تم ايجادها من خلال الفرق بين معاملات التوهين المقاسة والحسابات النظرية، اذ لوحظ عند الطاقات الواطئة  $\omega_e \ll \omega$  ، وعند الطاقات العالية  $\omega \gg \omega_e$  ، ان المركبة الخيالية تقربياً تساوي صفر، أي ان الالكترونات مرتبطة بشدة الى الذرة، بينما نلاحظ في المنطقة التي فيها  $\omega_e \sim \omega$  فان المركبة الخيالية للاستطرارة تكون بارزة والإلكترون يصبح ذات امتصاص عالي، كذلك تبين ان هنالك اتفاق جيد بين القيم التي تم التوصل اليها للمركبة الخيالية لعامل التشتت الذري مع القيم التي تم حسابها باستخدام نماذج مختلفة.

**كلمات مفتاحية:-** عامل التشتت الذري، الجزء الخيالي لعامل التشتت الذري، الاستطرارة المشاكهة.

**١- المقدمة:- (Introduction)**

تصف المركبة الحقيقة والخيالية للتشتت الشاذ لعامل التشتت الذري الكلي الخصائص البصرية للمواد، وهذا يتضمن حالات الانعكاس والانكسار والامتصاص للاشعة السينية، حيث ان التوزيع الفضائي للالكترونات الذرية يكون ذات اهمية بالنسبة لهذه الابحاث، كما في حالة الحبيبات وعامل التشتت الذري الكلي [1]، ان توهين الاشعة السينية بالمواد المختلفة يزودنا بطيف واسع من المعلومات حول الخصائص الاساسية للمادة على المستوى الذري والجزيئي وبشكل خاص تستخدم القياسات النسبية والمطلقة لمعامل التوهين الكتلي لقياس النتيجيات النظرية للامتصاص الكهرومغناطيسي باستخدام دارات الموجة للالكترون ذات الحالة المحددة [2] ، علاوة على التحري عن ديناميكية العمليات الذرية ب ضمنها عمليات انتقال اوجي

(Auger Transition) ، وتزودنا بمعلومات حول كثافة الحالات الالكترونية والواسطى الجزئية وخواص الحالة الصلبة الأخرى [3] .

**٢- الجانب النظري:- (Theoretical Part)****a - المركبة الخيالية لعامل التشتت الذري**

ان الذرات عند تشتتها للاشعة لا تحدث أي تغيير اضافي في زوايا الطور النسبية وفي العادة يكون هذا صحيحاً الا انه يوجد بعض الاستثناءات وذلك في حالة بعض الذرات التي تكون حافة الامتصاص لها بالقرب من تردد الاشعة الساقطة اذ انها تحدث تغيراً اضافياً في زوايا الطور ، وهذا يسمى التشتت الشاذ، وحيث ان معامل التشتت يتم حسابه بافتراض ان الالكترونات في الذرة يمكن اعتبارها حرة وهذا الافتراض يجب ان يعدل في حالة التشتت الشاذ، اذ يجب الالتحاق في الاعتبار تفاعل الاشعة الساقطة على الالكترونات المرتبطة بالنواة حيث ان هذا التفاعل هو الذي يحدث حافة الامتصاص، اذ ان معامل التشتت يصبح كمية مركبة " $f+f'$  والجزء الخيالي "  $f'$  هو الذي يهمنا حيث ان هذه المركبة هي التي تدخل التغيير في الطور [4].

عند مرور حزمة من فوتونات الاشعة السينية احادية الطول الموجي خلال مادة متجلسة فان معامل التوهين وعملية ازالة فوتونات من الحزمة الساقطة بعدة آليات، يمكن تعريفه من [5] ،

لمبرت

- بير-

قانون

خلال

$$I = I_0 e^{-\mu x} \quad (1)$$



حيث  $I_0$  و  $I$  شدات حزمة الاشعة السينية الساقطة والنافذة على التوالي،  $\mu$  سمة المادة و  $\sigma_{TOT}$  ذرة، معامل التوهين الخطي للمادة والذي يتناسب مع المقطع العرضي الكلي لتفاعل الفوتونات لكل ذرة،

$$\sigma_{TOT} = \mu(M/N_a\rho) \quad (2)$$

حيث  $M$  الوزن الذري و  $N_a$  عدد افوكادرو و  $\rho$  كثافة المادة.

بالنسبة لطاقات فوتونات الاشعة السينية يعبر عن المقطع العرضي الكلي لتفاعل الفوتونات بـ

$$\sigma_{TOT} = \sigma_{Pe} + \sigma_R + \sigma_C \quad (3)$$

حيث  $\sigma_{Pe}$  المقطع العرضي للامتصاص الكهروضوئي،  $\sigma_R$  استطاره رايلي،  $\sigma_C$  استطاره كومبتن.

ان تفاعل الاشعة السينية مع الذرات يمكن ان يوصف من خلال التقريب لعامل التشتت الذري  $f$ ، باستثناء استطاره كومبتن، والذي يمكن كتابته بـ [6]،

$$f = f_0 + f' + f'' \quad (4)$$

حيث  $f_0$  عامل استطاره ثومسن وبالنسبة للاستطارة الامامية يساوي العدد الذري،  $(f' + f'')$  الجزء الحقيقى والخيالى لتصحيح التشتت والذي يعتمد بشدة على الطاقة قرب حافة الامتصاص، الجزء الخيالى  $(f'')$  يرتبط بالمقطع العرضي للامتصاص الكهروضوئي بالعلاقة التالية،

$$f'' = [\omega N_a \rho / 4\pi r_e c M] \times \sigma_{Pe} \quad (5)$$

حيث  $\omega$  التردد الزاوي للفوتون،  $r_e$  نصف قطر الالكترون الكلاسيكي و  $c$  سرعة الضوء.

**b - المقطع العرضي لاستطارة رايلي (الاستطارة المتشاكهة)**



ان المعرفة الدقيقة لاستطارة رايلي للفوتونات من قبل الذرة المنفردة او الايون خصوصاً بالقرب من حافة الامتصاص الكهروضوئي هي مفتاح للحصول على معلومات قيمة عن التركيب الداخلي للنظام المعقد، كما ان التنبؤات النظرية الدقيقة لاستطارة رايلي للفوتونات ذات اهمية كبيرة بسبب امكانية تطبيقها في مختلف المجالات بما فيها الكيمياء وعلوم الاحياء والحماية النووية والتشخيص الطبي [4].

في الاستطارة المتشاكهة يغير الفوتون اتجاهه فقط دون انتقال للطاقة الى الذرة الهدف التي تحفظ بنفس الطاقة بعد الاستطارة بالاكترونات الذرية المقيدة حيث يعبر رياضياً عن المقطع العرضي التقاضلي للاستطارة المتشاكهة بالعلاقة التالية [7]،

$$\sigma_{Rayleigh} = \sigma_{Thomson} \times [F(k, z)]^2 \quad (6)$$

حيث  $\sigma_{Thomson}$  هو المقطع العرضي للاكترون الحر او المقطع العرضي لثومسن والذي يعطى بـ [8]،

$$\frac{d\sigma_{Thomson}(\theta)}{d\theta} = \frac{1}{2} r_e^2 (1 + \cos^2 \theta) \quad (7)$$

حيث  $d\theta$  زاوية الاستطارة و  $\frac{d\sigma_{Thomson}(\theta)}{d\theta}$  هو المقطع العرضي التقاضلي لثومسن و  $F(k, z)$  عامل التشكل الذري و  $Z$  العدد الذري للعنصر، اذ يمكن كتابة المعادلة (6) بالصيغة التالية [7]،

$$\frac{d\sigma_{Rayleig}}{d\theta} = \frac{r_e^2}{2} (1 + \cos^2 \theta) \times [F(k, z)]^2 \quad (8)$$

ان عامل التشكل الذري لشحنة الالكترونية ذات تماثل كروي حول النواة يعطى بـ [7]،

$$f(k, Z) = 4\pi \int_0^{\infty} \rho(r) \frac{\sin(kr)}{kr} r^2 dr \quad (9)$$



حيث  $k$  منقول الزخم بوحدة  $A^{0^{-1}}$  و  $k = \frac{\sin(\theta)}{\lambda}$  ،  $\theta$  زاوية الاستطاره و  $\lambda$  الطول الموجي للفوتون الساقط و  $(r)\rho$  كثافة الشحنة الالكترونية،  $r$  المسافة بين النواة والالكترون.

يهدف البحث الى ايجاد المركبة الخيالية العمل التشتت الذري والذي من خلاله يمكن ايجاد الخصائص البصرية للمعادن.

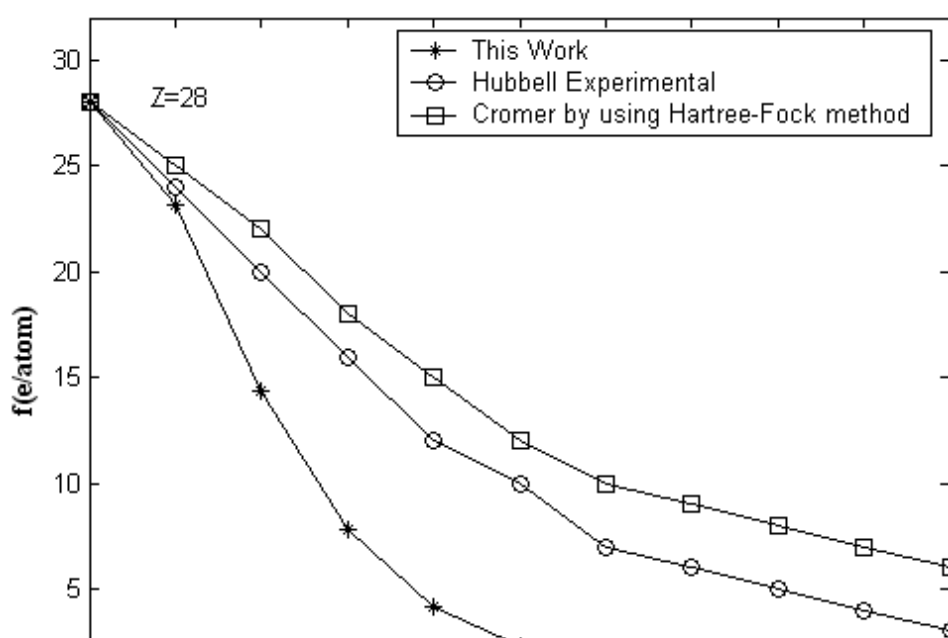
### 3 - الحسابات والنتائج:-

تم الحصول على قيم عامل التشكك الذري عن طريق المعادلة (9) في حالة تطبيقها على ذرة منفردة من خلال تقرير الجسيمات المستقلة حيث يتم تجاهل حدود التناقض بين الالكترونات [7] ، ان الالكترونات حول النواة ليس لها مواضع محددة بل تنتشر على امتداد حجم الذرة، لذا يمكن اجراء التكامل في المعادلة (9) على الجزء الزاوي من عنصر الحجم، وباجراء عملية التكامل، وجد ان عامل التشكك الذري يعطى بالمعادلة،

$$f(k, Z) = \frac{Z}{(1 + 4\pi^2 k^2 a_0^2)^2} \quad (10)$$

حيث  $a_0$  نصف قطر بوهر لذرة الهيدروجين.

لایجاد قيم عامل التشكك الذري تم اعتماد المعادلة (10) باستخدام برامج الـ MATLAB ولقيم  $(\sin\theta)/\lambda \leq 1A^{0^{-1}}$  والشكل (1) يوضح العلاقة بين عامل التشتت الذري .





الشكل (1) العلاقة بين  $\lambda/\sin\theta$  وعامل التشتت الذري .

ومن خلال مقارنة النتائج التي تم التوصل اليها لعامل التشتت الذري مع ما توصل اليه [9] Cromer باستخدام طريقة هارت- فوك [10] والموضحة بالشكل (1)، نلاحظ هنالك سلوك متقارب لقيم عامل التشتت الذري الا ان الاختلافات بين القيم المحسوبة يعتمد على الاسلوب المتبوع في ايجاد الدوال الموجية.

يبينما تم اعتماد المعادلة (8) لايجاد قيم المقطع العرضي للاستطارة المتشاكهة، الجدول (1) يبين قيم المقطع العرضي للاستطارة المتشاكهة التي تم الحصول عليها، وتم اعتماد المعادلة (1) لايجاد معامل التوهين الكتلي  $\rho/\mu$  للأشعة السينية في النikel للسمك ( 1, 2, 3, 4, 5 ) mm عند الطاقات MoKa (17.480 KeV) و CuK $\alpha$  (8.048 KeV) و CuK $\beta$  (8.906 KeV) ، والذي من خلاله تم ايجاد المقطع العرضي الكلي للاستطارة والموضح في الجدول (2)، من المعادلة (3) وعند استثناء استطاره كومبتن لانها استطاره غير متشاكهة، نجد ان المقطع العرضي لامتصاص الكهروضوئي يمثل الفرق بين المقطع العرضي العرضي الكلي للاستطارة و المقطع العرضي للاستطارة رايلي، وباستخدام المعادلة (5) تم ايجاد الجزء الخيالي لعامل التشتت الذري للاشعة السينية في النikel، الجدول (3) يوضح قيم الجزء الخيالي لعامل التشتت الذري التي تم الحصول عليها. كما ان تغير الجزء الخيالي لعامل التشتت الذري مع طاقة الفوتون الساقط موضحة بالشكل (2).

**الجدول (1) قيم عامل التشتت الذري والاستطارة المتشاكهة.**

| $\sin(\theta)/\lambda$ | 0.6490 | 0.7182 | 1.4097 | 1.5814 |
|------------------------|--------|--------|--------|--------|
|------------------------|--------|--------|--------|--------|



|                           |        |        |        |        |
|---------------------------|--------|--------|--------|--------|
| $A^{0^{-1}}$              |        |        |        |        |
| f (e/atom)                | 1.0526 | 0.7046 | 0.609  | 0.424  |
| $\sigma_R$<br>(barn/atom) | 0.7371 | 0.3788 | 0.0028 | 0.0011 |

الجدول (2) قيم طاقة الفوتون الساقط ومعامل التوهين الكتلي  
والمقطع العرضي الكلي للاستهارة.

|                                 |        |       |        |        |
|---------------------------------|--------|-------|--------|--------|
| E (KeV)                         | 8.048  | 8.906 | 17.48  | 19.609 |
| $\mu/\rho$<br>( $cm^2/g$ )      | 45.7   | 274.3 | 46.5   | 32.2   |
| $\mu/\rho$ **<br>( $cm^2/g$ )   | 43.06  | 270   | 44.50  | 30.59  |
| $\sigma_{Total}$<br>(barn/atom) | 4403.9 | 26733 | 4031.8 | 3138.2 |

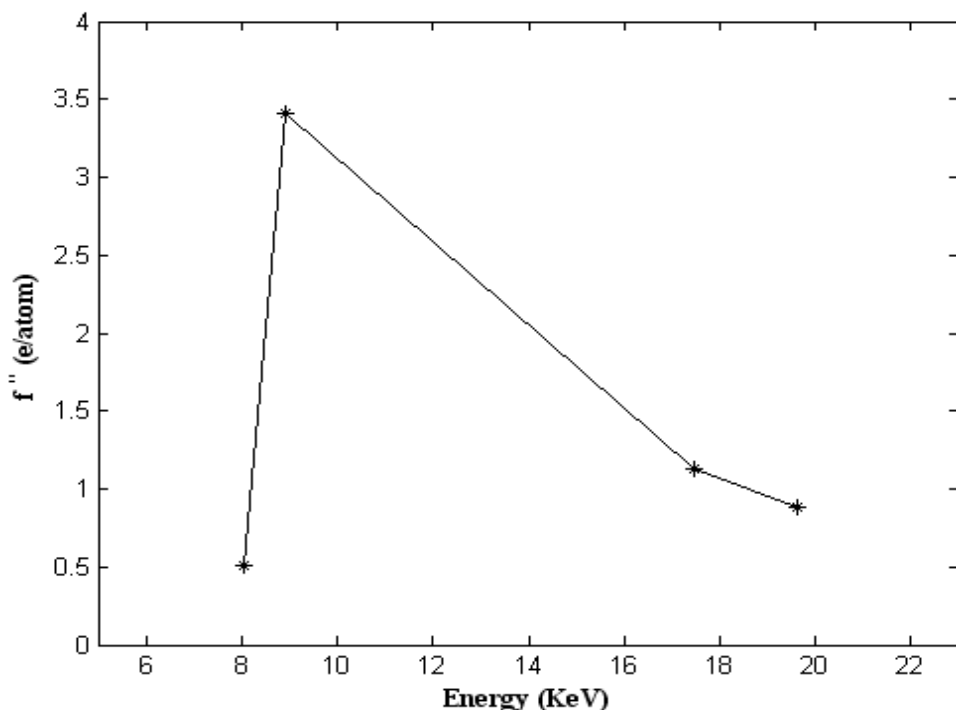


|                                      |      |       |      |      |
|--------------------------------------|------|-------|------|------|
| $\sigma_{Total}^{**}$<br>(barn/atom) | ٤١٩٠ | ٢٦٣١١ | ٤٣٣٦ | 2972 |
|--------------------------------------|------|-------|------|------|

الجدول (3) قيم طاقة الفوتون الساقط والمقطع العرضي الكهرومغناطيسي للاستطرارة والجزء الخيالي لعامل التشتت الذري.

|                              |             |            |            |        |
|------------------------------|-------------|------------|------------|--------|
| E (KeV)                      | ٨.٠٤٨       | ٨.٩٠٦      | ١٧.٤٨      | ١٩.٦٠٩ |
| $\sigma_{Pe}$<br>(barn/atom) | ٤٤٥٣.١      | ٢٦٧٣٣      | ٤٥٣١.      | ٣١٣٨.٢ |
| $f''(e/atom)$                | ٠.٥١٢٥<br>٨ | ٣.٤٠٤<br>٦ | ١.١٣٢<br>٨ | ٠.٨٧٩٩ |
| $f''(e/atom)*$<br>*          | ٠.٤٩        | ٣.١٠١      | ١.٠٩       | ٠.٨٥   |

\*\*- Chantler [11]





الشكل (2) العلاقة بين الجزءخيالي لعامل التشتت الذري  
مع طاقة الفوتون الساقط .

#### 4 - الاستنتاجات والمناقشة:-

ان النتائج الحالية التي تم التوصل اليها لعامل التشتت الذري والموضحة في الشكل (1) تكون مفيدة بالنسبة للحسابات التي تصف القيم المحسوبة لذرة منفردة ومدى الانحراف عن القيم المتوقعة ، حيث ان الانحرافات تم ملاحظتها عند الطاقات العالية القريبة من حافة الامتصاص وهذا بسبب اختلاف التركيب الالكتروني للمادة بالمقارنة مع الذرة المنفردة والتي هي اساس التقرير النظري ، كذلك فان النتائج الحالية توضح اهمية قيم محددة للطاقة والتي يمكن ملاحظتها من الشكل (2) حيث نلاحظ انه عند الطاقات الواطئة عندما  $\omega_e \ll \omega$  ، وكذلك عند الطاقات العالية عندما  $\omega_e \gg \omega$  ، حيث  $\omega_e$  طاقة الفوتون الساقط و  $\omega$  طاقة ارتباط الالكترون بالذرة، ان المركبة الخيالية تقربياً تساوي صفر، أي ان الالكترونات مرتبطة بشدة الى الذرة، بينما نلاحظ في المنطقة التي فيها  $\omega_e \sim \omega$  فان المركبة الخيالية للاستطارة تكون بارزة والالكترون يصبح ذات امتصاص عالي، لذلك فان قياس المركبة الخيالية لعامل التشتت الذري يكون اكثر فائدة للقياسات الدقيقة والتي من شأنها تحسين مدى فهمنا لهذه العمليات التي تعرف بالاستطارة الرنينية وهي اكثر ملائمة لوصف السلوك الرئيسي بالقرب من حافات الامتصاص.

ان ما تم التوصل اليه من سلوك لقيم عامل التشتت الذري والمركبة الخيالية يتتفق مع كل من [13-6]

من الممكن استخدام نظرية ميكانيك الكم والفيزياء الذرية لحساب قيم عامل التشتت الذري كدالة لطاقة الفوتون، حيث ان المركبة الخيالية لعامل التشتت الذري ترتبط ارتباط مباشر مع معامل الامتصاص الكهروضوئي والمقارنة بين القيم المحسوبة والمقاسة لمعاملات التوهين الكثلي للاشعة السينية التي يمكن ان توضح مدى فهمنا للأساليب النظرية [12]، ان تطوير التقنيات الحسابية مكننا من



ابجاد الحلول للدالة الموجية الذرية لمدى واسع من العناصر والطاقة، هذه الحسابات تبعاً مكنته من حساب المقاطع العرضية للامتصاص الكهروضوئي، ان الجداول المستخدمة لعامل النشت الذري تختلف بالحلول للعديد من العناصر ولمدى الطاقات الهامة، ان النماذج النظرية المطورة لا تعطي بضرورة اتفاق افضل مع القيم التجريبية ان الاختلافات الرئيسية بين النتائج ينتج من الأطر النظرية المختلفة التي استخدمت لحساب الدالة الموجية حيث ان كل منها يعالج التبادل والارتباط والتدخل الذي يحدث بطريقة مختلفة لذلك تترجم الاختلافات عن التطبيق المتعدد للطرق التقريبية ومعايير التقارب

[13]

**المصادر:-**

- [1] Krishnananda, K.N.Niranjana, N.M.Badiger. **2013.** "Measurement of real and imaginary form Factor of silver atom using a high resolution HPGe detector", Journal of X-Ray Science and Tecgnology, vol 21, no. 4, pp. 557-565.
- [2] M. Tauhidul Islam, Lachlan J. Tantau, Nicholas A. Rae, Zwi Barnea, Chanh Q. Tran and Christopher T. Chantler. **2014.** "Measurement of the X-ray mass attenuation coefficients of silver in the 5–20 keV range", J. Synchrotron Rad. 21, 413–423.
- [3] B.S. Sidhu, A.S. Dhaliwal, K.S. Mann and K.S. Kahlon. **2012.** "Study of mass attenuation coefficients, effective atomic numbers and electron densities for some low Z compounds of dosimetry interest at



59.54 keV incident photon energy" Annals of Nuclear Energy, vol. 42, pp. 153–157.

- [4] Muhammad, W. & Lee, S. H. **2013**. "Impact of anomalous effects on the angular distribution of coherently scattered photons using Monte Carlo simulation", *Acta Cryst. A*69, 297–308.
- [5] Shivalinge Gowda . **2016**. " The Mass Attenuation coefficients, Effective Atomic Cross Sections, Effective atomic numbers and Electron densities for some Halides ", *Physics and Mathematical Sciences* Vol.10 (8).
- [6] J.Baltazar-Rodrigues and C.Cuusatis. **2001**. "Determination of X-ray Photoelectric Absorption of Ge and Si Avoiding Solid-State Effects", *Nuclear Instruments and Methods in Physics Research B* 179, 325-333.
- [7] L. Safari, J. P. Santos, P. Amaro, K. Jankala and F. Fratini. **2014**. "Analytical evaluation of atomic form factors: application to Rayleigh scattering", *Journal of Mathematical Physics* , Vol.56(5).
- [8] Rafea Abdullah Abbad Algoboory. **2012**. "Evaluation of the Compton (Incoherent) and Rayleigh (Coherent) Differential Cross Sections of Scattering for Rhodium 103 Rh 45 and Tantalum 181 Ta 73 by Employing CSC" , *J. Baghdad for Sci.* Vol.9(3), 554-558.
- [9] J.H. Hubbell, Wm.J. Veigle, E.A. Briggs, R.T. Brown, D.T. Cromer, and R.J. Howerton, (1975) "Atomic form factors, incoherent scattering functions, and photon scattering cross sections", *J. Phys. Chem. Ref. Data* 4, 471-538.



- [10] D. T. Cromer, A. C. Larson, and J. T. Waber, (1964) " Hartree scattering factors for elements 37 through 98". *Acta Crystallogr.* 17, 1044–50.
- [11] C.T. Chantler, "Theoretical Form Factor, Attenuation, and Scattering Tabulation for Z=1–92 from E=1–10 eV to E=0.4–1.0 MeV", *J. phys. Chem. Ref. vol 24*, 1995, pp 71-82.
- [12] M.D. de Jonge, D. Paterson, E.P. Kanter and M.A. Beno. **2007**. "Measurment of The X-ray Mass Attenuation Coefficient and Determination of The Imaginary Component of The Atomic Form Factor of Tin Over The Energy Range of 29-60 keV", *Physical Review A* , , Vol.75 , pp.1050-2947.
- [13] Nicholas A. Rae, C.T. Chantler and Z. Barnea. **2010**. "X-ray mass attenuation coefficients and imaginary components of the atomic form factor of zinc over the energy range of 7.2–15.2 keV" *Phys. Rev. A* 81, 022904.